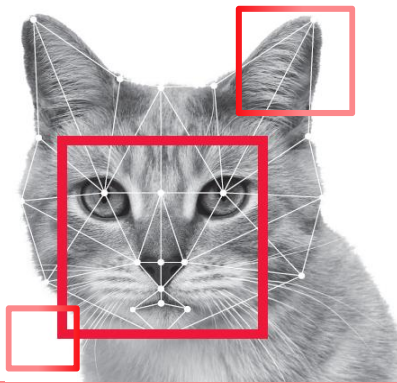


한빛아카데미
Hanbit Academy, Inc.

COMPUTER VISION 컴퓨터 비전
기본 개념부터 최신 모바일 응용 예까지



2장. 영상 처리

PREVIEW

■ 영상 처리

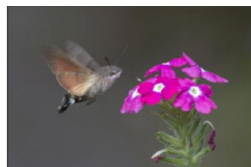
- 주어진 목적을 달성하기 위해 원래 영상을 새로운 영상으로 변환
- 컴퓨터 비전의 전처리 과정



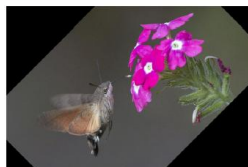
(a) 원래 영상



(b) 어둡게



(c) 블러링



(d) 회전

그림 2-1 원래 영상과 영상 처리를 적용한 영상

각 절에서 다루는 내용

1. 디지털 영상이란?
→ 디지털 영상이 무엇인지 알아보고, 표현 방법을 배운다.
2. 히스토그램
→ 알고리즘 공부의 시작이므로 쉽고 흥미로운 주제인 히스토그램을 다룬다. 단순하지만 여러 곳에 유용하게 쓰이는 연산이다.
3. 이진 영상
→ 기존 영상을 흑백의 이진 영상으로 변환하는 이진화와 이진 영상에서 연결요소를 구하는 알고리즘을 공부한다.
4. 영상 처리의 세 가지 기본 연산
→ 영상 처리 연산은 크게 점 연산, 영역 연산, 기하 연산으로 구분할 수 있다. 이들 세 가지 연산을 자세하게 다룬다.
5. 다해상도
→ 영상 크기를 크거나 작게 만드는 연산과 다중 해상도를 구축하는 방법을 알아본다.
6. 모폴로지
→ 이진 모폴로지와 명암 모폴로지를 다룬다.
7. 컬러
→ 컬러 영상에 적용할 수 있는 영상 처리 기법을 설명한다.

2.1 디지털 영상이란?

2.1.1 디지털 영상의 태동

2.1.2 획득과 표현

2.1.1 디지털 영상의 태동

■ Bartlane 시스템 [McFarlane72]

- 1920년 유럽 \leftrightarrow 미국 영상 전송 시스템 개통
- 미디어 산업에 혁신 불러일으킴



그림 2-2 Bartlane 시스템이 전송한 디지털 영상(1920년대)

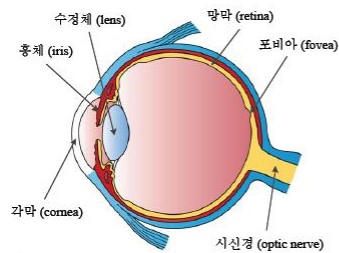
■ 한 세기 지난 현재

- 디지털 카메라, 스마트폰 등 보편화
- 인터넷 비전이라는 새 연구분야 태동할 정도로 디지털 영상 폭발적 팽창
- Flickr는 수십 억장의 영상 호스팅

2.1.2 획득과 표현

■ 사람의 눈과 카메라

- 수정체는 렌즈, 망막은 CCD 센서 (필름)에 해당



(a) 사람의 눈 구조



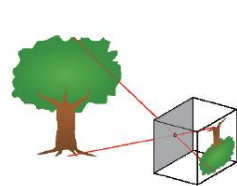
(b) 카메라의 구조

그림 2-3 사람의 눈과 카메라의 구조

2.1.2 획득과 표현

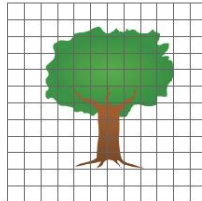
■ 샘플링과 양자화

- 2차원 영상 공간을 $M \times N$ 으로 샘플링 ($M \times N$ 을 해상도라 부름)
- 명암을 L 단계로 양자화 (L 을 명암 단계라 부름, 즉 명암은 $[0, L-1]$ 사이 분포)
- 아래 예) $M=12, N=12, L=10$ 인 경우



(a) 핀홀 카메라 모델

그림 2-4 디지털 영상 획득



(b) 샘플링과 양자화

0	0	0	0	0	0	0	0	0	0	0	0
0	0	3	4	2	3	4	3	0	0	0	0
0	0	3	7	8	8	8	7	6	3	0	0
0	0	4	8	9	9	9	8	7	5	1	0
0	0	4	7	8	9	8	7	5	0	0	0
0	0	3	6	7	8	7	7	3	0	0	0
0	0	0	2	4	7	8	4	3	0	0	0
0	0	0	0	0	4	7	0	0	0	0	0
0	0	0	0	0	5	6	0	0	0	0	0
0	0	0	0	2	3	4	2	1	0	0	0
0	0	0	0	0	0	0	0	0	0	0	0
0	0	0	0	0	0	0	0	0	0	0	0

(c) 디지털 영상

2.1.2 획득과 표현

■ 영상 좌표계

- 화소 위치는 $\mathbf{x}=(j,i)$ 또는 $\mathbf{x}=(y,x)$ 로 표기
- 영상은 $f(\mathbf{x})$ 또는 $f(j,i)$, $0 \leq j \leq M-1$, $0 \leq i \leq N-1$ 로 표기

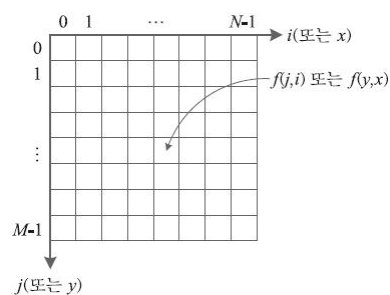


그림 2-5 디지털 영상의 좌표계

- 컬러 영상은 $f_r(x)$, $f_g(x)$, $f_b(x)$ 의 세 채널로 구성

2.1.2 획득과 표현

■ 영상 표시 방법

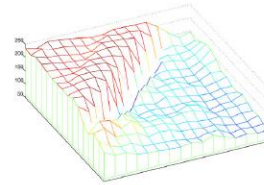


(a) 영상

그림 2-6 디지털 영상 표시 방법

255	254	259	256	250	224	216	215	226	225	223	229	196	183	196	147
229	244	253	251	253	214	219	239	258	259	222	191	127	137	122	136
245	235	229	223	214	215	237	236	252	256	487	822	151	124	129	161
227	231	223	219	216	234	240	236	223	146	81	136	132	120	134	164
231	229	222	217	235	234	231	211	148	81	121	126	120	112	129	164
237	222	226	227	240	236	236	111	70	142	119	111	111	111	124	147
229	222	229	240	236	225	97	93	145	119	124	125	100	110	129	123
228	234	241	242	232	112	99	153	136	126	126	121	122	130	119	124
225	234	226	228	78	73	125	121	112	130	120	115	107	132	111	111
236	232	195	86	95	139	111	121	116	114	116	116	103	104	112	110
225	197	95	118	140	120	119	124	113	115	122	122	93	109	106	122
165	125	157	169	155	140	135	133	124	133	133	119	102	107	119	112
164	323	195	156	174	130	137	136	119	122	114	108	112	98	104	102
186	186	190	150	160	125	134	129	116	113	108	111	99	91	93	106
176	152	130	142	120	118	117	113	164	132	112	111	90	86	93	94
156	137	130	122	117	114	111	110	113	108	122	107	93	90	90	94

(b) 숫자 배열



(c) 지형

2.2 히스토그램

2.2.1 히스토그램 계산

2.2.2 히스토그램 용도

2.2.3 히스토그램 역투영과 얼굴 검출

2.2.1 히스토그램 계산

■ 히스토그램

- $[0, L-1]$ 사이의 명암값 각각이 영상에 몇 번 나타나는지 표시
- 히스토그램 h 와 정규화 히스토그램

$$h(l) = |\{(j, i) \mid f(j, i) = l\}| \quad (2.1)$$

$$\hat{h}(l) = \frac{h(l)}{M \times N} \quad (2.2)$$

알고리즘 2-1 명암 영상에서 히스토그램 계산

입력 : 명암 영상 $f(j, i), 0 \leq j \leq M-1, 0 \leq i \leq N-1$

출력 : 히스토그램 $h(l)$ 과 정규 히스토그램 $\hat{h}(l), 0 \leq l \leq L-1$

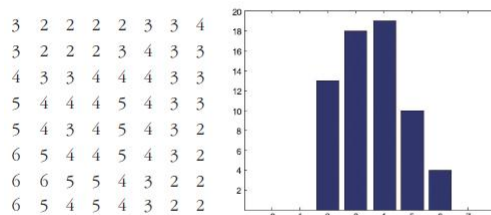
```

1  for (l=0 to L-1)  h(l) = 0; // 초기화
2  for (j=0 to M-1)
3      for (i=0 to N-1) // f의 화소 (j, i) 각각에 대해
4          h(f(j, i))++; // 그곳 명암값에 해당하는 히스토그램 칸을 1만큼 증가
5  for (l=0 to L-1)
6      ĥ(l) = h(l) / (M × N); // 정규화한다.
```

2.2.1 히스토그램 계산

예제 2-1 명암 영상에서 히스토그램 계산

[그림 2-7(a)]는 M 과 N 이 8이고 $L=8$ 인 아주 작은 영상이다. 이 영상에서 명암값이 2인 화소는 13개이므로 $h(2)=13$ 이다. 다른 명암값에 대해서도 화소의 개수를 세어보면 $h = (0, 0, 13, 18, 19, 10, 4, 0)$ 이고, $\hat{h}(l) = (0, 0, 0.203, 0.281, 0.297, 0.156, 0.063, 0)$ 이다. 이것을 그래프로 그리면 [그림 2-7(b)]와 같다.



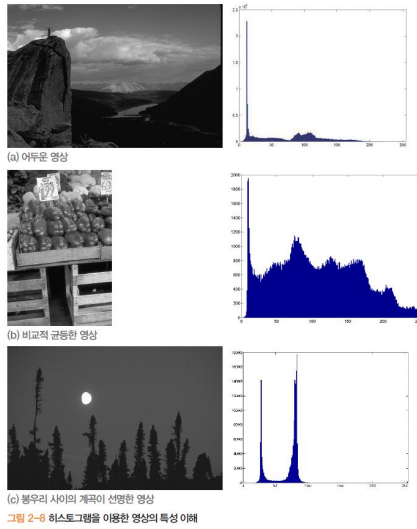
(a) 8×8 영상 (8 명암 단계)

(b) 히스토그램

그림 2-7 히스토그램 예

2.2.2 히스토그램 용도

■ 영상의 특성 파악



2.2.2 히스토그램 용도

■ 히스토그램 평활화

- 히스토그램을 평평하게 만들어 주는 연산
- 명암의 동적 범위를 확장하여 영상의 품질을 향상시켜줌
- 누적 히스토그램 $c(.)$ 를 매핑 함수로 사용

$$l_{out} = T(l_{in}) = \text{round}(c(l_{in}) \times (L - 1)) \quad (2.3)$$

$$\text{이때 } c(l_{in}) = \sum_{l=0}^{l_{in}} \hat{h}(l)$$

2.2.2 히스토그램 용도

예제 2-2 히스토그램 평활화

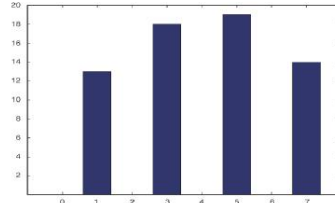
[예제 2-1]의 영상을 재활용하기로 하자. [그림 2-9(a)]에 제시된 표는 매핑 함수 $T(\cdot)$ 를 구하는 과정을 보여준다. 결국 입력 영상의 명암값 0은 0, 1은 0, 2는 1, 3은 3, ..., 7은 7로 매핑해 주는 함수를 얻었다. [그림 2-9(b)]는 매핑하여 얻은 평활화된 영상이다. [그림 2-9(c)]는 새로운 영상의 히스토그램이다. 이 히스토그램을 이전 영상의 히스토그램인 [그림 2-7(b)]와 비교해 보자. 이전 것은 동적 범위가 [2, 6]이었는데 새로운 영상은 [1, 7]로 보다 넓어졌음을 알 수 있다.

I_m	$\hat{h}(I_m)$	$c(I_m)$	$c(I_m) \times 7$	I_{new}
0	0.0	0.0	0.0	0
1	0.0	0.0	0.0	0
2	0.203	0.203	1.421	1
3	0.281	0.484	3.388	3
4	0.297	0.781	5.467	5
5	0.156	0.937	6.559	7
6	0.063	1.0	7.0	7
7	0.0	1.0	7.0	7

(a) 매핑 표 $T(\cdot)$

3 1 1 1 1 3 3 5
 3 1 1 1 3 5 3 3
 5 3 3 5 5 5 3 3
 7 5 5 5 7 5 3 3
 7 5 3 5 7 5 3 1
 7 7 5 5 7 5 3 1
 7 7 7 7 5 3 1 1
 7 7 5 7 5 3 1 1

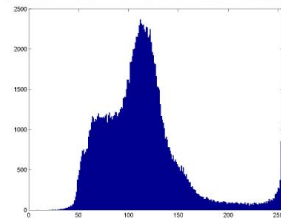
(b) 평활화된 영상



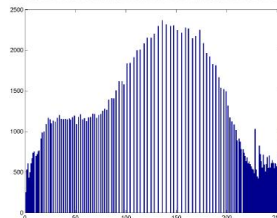
(c) 평활화된 영상의 히스토그램

그림 2-9 히스토그램 평활화 예

2.2.2 히스토그램 용도



(a) 원래 영상



(b) 히스토그램 평활화된 영상

그림 2-10 히스토그램 평활화를 적용해 품질이 향상된 예

2.2.2 히스토그램 용도



(a) 원래 영상



(b) 히스토그램 평활화된 영상

그림 2-11 히스토그램 평활화를 적용해 시각적 느낌이 나빠진 예

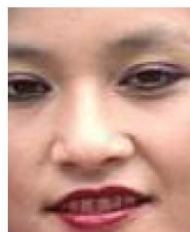
→ 영상처리 연산은 분별력을 가지고 활용 여부 결정해야 함

2.2.3 히스토그램 역투영과 얼굴 검출

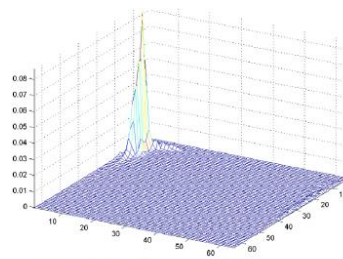
■ 히스토그램 역투영

- 히스토그램을 매핑 함수로 사용하여, 화소 값을 신뢰도 값으로 변환

■ 얼굴 검출 예: 모델 얼굴과 2차원 히스토그램



(a) 모델 얼굴



(b) 2차원 히스토그램(HS 공간)

그림 2-12 얼굴 검출을 위한 모델 얼굴과 히스토그램

2.2.3 히스토그램 역투영과 얼굴 검출

■ 2차원 히스토그램

알고리즘 2-2 2차원 히스토그램 계산(HS 공간)

입력 : H 와 S 채널 영상 $f_H(j, i), f_S(j, i), 0 \leq j \leq M-1, 0 \leq i \leq N-1$

출력 : 히스토그램 $h(j, i)$ 와 정규 히스토그램 $\hat{h}(j, i), 0 \leq j, i \leq q-1$ // L 단계를 q 단계로 양자화

```

1   $h(j, i), 0 \leq j, i \leq q-1$ 을 0으로 초기화한다.
2  for( $j=0$  to  $M-1$ )
3    for( $i=0$  to  $N-1$ ) // 화소  $(j, i)$  각각에 대해
4       $h(\text{quantize}(f_H(j, i)), \text{quantize}(f_S(j, i)))++$ ; // 해당 칸을 1 증가시킴
5  for( $j=0$  to  $q-1$ )
6    for( $i=0$  to  $q-1$ )
7       $\hat{h}(j, i) = h(j, i) / (M \times N)$ ; // 정규화

```

2.2.3 히스토그램 역투영과 얼굴 검출

■ 얼굴 검출

- 모델 얼굴에서 구한 히스토그램 h_m 은 화소의 컬러 값을 얼굴에 해당하는 신뢰도 값으로 변환해줌
- 실제로는 비율 히스토그램 h_r 을 사용

$$h_r(j, i) = \min\left(\frac{\hat{h}_m(j, i)}{\hat{h}_i(j, i)}, 1.0\right), \quad 0 \leq j, i \leq q-1 \quad (2.4)$$

2.2.3 히스토그램 역투영과 얼굴 검출

■ 히스토그램 역투영 알고리즘

알고리즘 2-3 히스토그램 역투영

입력: H 와 S 채널 영상 $g_H(j, i), g_S(j, i), 0 \leq j \leq M-1, 0 \leq i \leq N-1$ // 얼굴을 검출하려는 영상

모델 히스토그램 $\hat{h}_m(j, i), 0 \leq j, i \leq q-1$

출력: 가능성 맵 $o(j, i), 0 \leq j \leq M-1, 0 \leq i \leq N-1$

```

1  영상  $g_H, g_S$ 에 [알고리즘 2-2]를 적용하여 정규 히스토그램  $\hat{h}_i$ 를 만든다.
2  식 (2.4)를 이용하여  $\hat{h}_i$ 을 구한다.
3  for( $j=0$  to  $M-1$ )
4    for( $i=0$  to  $N-1$ )
5       $o(j, i) = \hat{h}_i(\text{quantize}(g_H(j, i)), \text{quantize}(g_S(j, i)))$ ; // 역투영
  
```

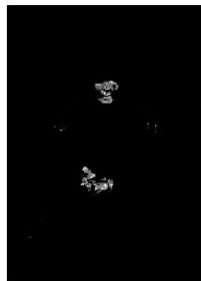
2.2.3 히스토그램 역투영과 얼굴 검출

■ 히스토그램 역투영 결과

- 얼굴 영역은 높은 신뢰도 값, 손 영역도 높은 값
- 한계: 비슷한 색 분포를 갖는 다른 물체 구별 못함. 검출 대상이 여러 색 분포를 갖는 경우 오류 가능성
- 장점: 배경을 조정할 수 있는 상황에 적합 (이동과 회전에 불변, 가림 occlusion에 강인)



(a) 입력 영상



(b) 역투영 영상

그림 2-13 히스토그램 역투영을 이용한 얼굴 검출

2.3 이진 영상

2.3.1 이진화와 오츠크 알고리즘

2.3.2 연결 요소

2.3.1 이진화와 오츠크 알고리즘

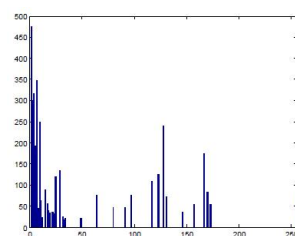
■ 이진화

- 명암 영상을 흑과 백만 가진 이진 영상으로 변환

$$b(j, i) = \begin{cases} 1, & f(j, i) \geq T \\ 0, & f(j, i) < T \end{cases} \quad (2.5)$$

■ 임계값 방법

- 두 봉우리 사이의 계곡을 임계값 T 로 결정
- 자연 영상에서는 계곡 지점 결정이 어려움



(a) 히스토그램



(b) 임계값을 이용하여 구한 이진 영상($T=50$)

그림 2-14 이진화

2.3.1 이진화와 오츠크 알고리즘

■ 오츠크 알고리즘 [Otsu79]

- 이진화 했을 때 흑 그룹과 백 그룹 각각이 균일할수록 좋다는 원리에 근거
- 균일성은 분산으로 측정 (분산이 작을수록 균일성 높음)
- 분산의 가중치 합 $v_{within}(t)$ 을 목적 함수로 이용한 최적화 알고리즘

$$T = \underset{t \in \{0,1,\dots,L-1\}}{\operatorname{argmin}} v_{within}(t) \quad (2.6)$$

$$\begin{aligned} v_{within}(t) &= w_0(t) v_0(t) + w_1(t) v_1(t) \\ w_0(t) &= \sum_{i=0}^t \hat{h}(i), & w_1(t) &= \sum_{i=t+1}^{L-1} \hat{h}(i) \\ \mu_0(t) &= \frac{1}{w_0(t)} \sum_{i=0}^t i \hat{h}(i), & \mu_1(t) &= \frac{1}{w_1(t)} \sum_{i=t+1}^{L-1} i \hat{h}(i) \\ v_0(t) &= \frac{1}{w_0(t)} \sum_{i=0}^t \hat{h}(i) (i - \mu_0(t))^2, & v_1(t) &= \frac{1}{w_1(t)} \sum_{i=t+1}^{L-1} \hat{h}(i) (i - \mu_1(t))^2 \end{aligned} \quad (2.7)$$

2.3.1 이진화와 오츠크 알고리즘

- $t-1$ 번째의 계산 결과를 t 번째에 활용하여 빠르게 계산

$$T = \underset{t \in \{0,1,\dots,L-1\}}{\operatorname{argmax}} v_{between}(t) \quad (2.8)$$

$$\text{여기에서 } v_{between}(t) = w_0(t) (1 - w_0(t)) (\mu_0(t) - \mu_1(t))^2$$

$$\text{초기값}(t=0) : w_0(0) = \hat{h}(0), \mu_0(0) = 0$$

순환식($t > 0$):

$$\begin{aligned} w_0(t) &= w_0(t-1) + \hat{h}(t) \\ \mu_0(t) &= \frac{w_0(t-1) \mu_0(t-1) + t \hat{h}(t)}{w_0(t)} \\ \mu_1(t) &= \frac{\mu - w_0(t) \mu_0(t)}{1 - w_0(t)} \end{aligned} \quad (2.9)$$

2.3.1 이진화와 오츠크 알고리즘

알고리즘 2-4 오츠크 알고리즘(효율적인 버전)

입력 : 영상 $f(j, i)$, $0 \leq j \leq M-1$, $0 \leq i \leq N-1$

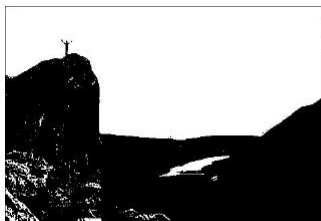
출력 : 이진 영상 $b(j, i)$, $0 \leq j \leq M-1$, $0 \leq i \leq N-1$

```

1  [알고리즘 2-1]을 이용하여  $f$ 의 정규 히스토그램  $\hat{h}$ 을 만든다.
2  식 (2.9)의 초기 조건을 이용하여  $w_0(0)$ 과  $\mu_0(0)$ 을 계산한다.
3  for( $t=1$  to  $L-1$ ) {
4      식 (2.9)의 순환식을 이용하여  $w_0(t)$ ,  $\mu_0(t)$ ,  $\mu_1(t)$ 를 계산한다.
5      식 (2.8)을 이용하여  $v_{between}(t)$ 를 계산한다.
6  }
7  앞의 for 루프에서 가장 큰  $v_{between}(t)$ 를 보인  $t$ 를 임계값  $T$ 로 취한다.
8  식 (2.5)로  $f$ 를 이진화하여  $b$ 를 만든다.

```

2.3.1 이진화와 오츠크 알고리즘



(a) $T=70$



(b) $T=111$

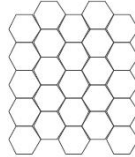
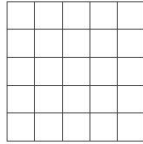
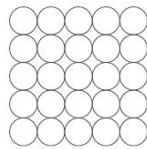


(c) $T=54$

그림 2-15 오츠크 알고리즘이 찾아준 임계값 T 로 이진화한 영상

2.3.2 연결요소

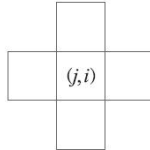
■ 화소의 모양과 연결성



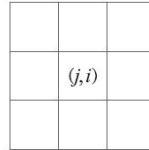
(a) 생각해 볼 수 있는 화소의 여러 가지 모양

$i-1$	i	$i+1$	
NW	N	NE	$j-1$
W	(j,i)	E	j
SW	S	SE	$j+1$

4-연결성



8-연결성



(b) 화소의 연결성

그림 2-16 화소의 모양과 연결성

2.3.2 연결요소

■ 연결요소 번호 붙이기

■ 4-연결성과 8-연결성

0	0	0	0	0	0	0	0	0
0	0	0	0	1	1	0	0	0
0	0	0	0	1	0	0	0	0
0	0	0	0	1	0	0	0	0
0	1	1	0	0	1	0	1	1
0	1	0	1	0	1	1	0	1
0	1	0	1	0	1	0	0	1
0	1	0	1	0	1	0	0	1
0	1	1	0	0	1	0	0	1
0	0	0	0	0	0	0	0	0

(a) 입력 이진 영상

0	0	0	0	0	0	0	0	0
0	0	0	0	1	1	0	0	0
0	0	0	0	1	0	0	0	0
0	0	0	0	1	0	0	0	0
0	2	2	0	0	1	0	3	3
0	2	0	4	0	1	1	0	3
0	2	0	4	0	1	0	0	3
0	2	0	4	0	1	0	0	3
0	2	2	0	0	1	0	0	3
0	0	0	0	0	0	0	0	0

(b) 번호 붙이기(4-연결성)

0	0	0	0	0	0	0	0	0
0	0	0	0	1	1	0	0	0
0	0	0	0	1	0	0	0	0
0	0	0	0	1	0	0	0	0
0	2	2	0	0	1	0	1	1
0	2	0	2	0	1	1	0	1
0	2	0	2	0	1	0	0	1
0	2	0	2	0	1	0	0	1
0	2	2	0	0	1	0	0	1
0	0	0	0	0	0	0	0	0

(c) 번호 붙이기(8-연결성)

그림 2-17 연결요소 번호 붙이기

2.3.2 연결요소

■ 범람 채움

■ 스택 오버플로우 위험

알고리즘 2-5 범람 채움(4-연결성 버전)

입력: 아진 영상 $b(j, i)$, $0 \leq j \leq M-1$, $0 \leq i \leq N-1$

출력: 번호를 매긴 영상 $l(j, i)$, $0 \leq j \leq M-1$, $0 \leq i \leq N-1$

```

1  b를 l로 복사한다. 이때 0은 0, 1은 -1로 복사한다. // -1은 아직 번호를 안 붙였음을 표시
2  l의 경계, 즉  $j=0, j=M-1, i=0, i=N-1$ 인 화소를 0으로 설정한다. // 영상 바깥으로 나가는 것을 방지
3  label=1;
4  for(j=1 to M-2)
5    for(i=1 to N-2) {
6      if(l(j,i)=-1) {
7        flood_fill4(l,j,i,label);
8        label++;
9      }
10   }
11
12 // 4-연결성 범람 채움 함수
13 function flood_fill4(l,j,i,label) {
14   if(l(j,i)=-1) { // 아직 번호를 안 붙인 화소이면
15     l(j,i)=label;
16     flood_fill4(l,j,i+1,label); // east
17     flood_fill4(l,j-1,i,label); // north
18     flood_fill4(l,j,i-1,label); // west
19     flood_fill4(l,j+1,i,label); // south
20   }
21 }
```

2.3.2 연결요소

■ 열 단위로 처리하는 알고리즘

알고리즘 2-6 범람 채움(메모리를 적게 사용하는 버전)

입력: 아진 영상 $b(j, i)$, $0 \leq j \leq M-1$, $0 \leq i \leq N-1$

출력: 번호를 매긴 영상 $l(j, i)$, $0 \leq j \leq M-1$, $0 \leq i \leq N-1$

```

1  b를 l로 복사한다. 이때 0은 0, 1은 -1로 복사한다. // -1은 아직 번호를 안 붙였음을 표시
2  l의 경계, 즉  $j=0, j=M-1, i=0, i=N-1$ 인 화소를 0으로 설정한다. // 영상 바깥으로 나가는 것 방지
3  label=1;
4  for(j=1 to M-2)
5    for(i=1 to N-2) {
6      if(l(j,i)=-1) {
7        efficient_floodfill4(l,j,i,label);
8        label++;
9      }
10   }
11
```


2.3.2 연결요소

```

12 // 메모리를 적게 사용하는 효율적인 4-연결성 범람 채움 함수
13 function efficient_floodfill4(l, j, i, label) {
14     Q = []; // 빈 큐 Q를 생성한다.
15     push(Q, (j, i));
16     while(Q.length > 0) {
17         (y, x) = pop(Q); // Q에서 원소를 하나 꺼낸다.
18         if (!l[y][x]) {
19             l[y][x] = label;
20             while((y, left) = next(y, x, 'l')) { // 아직 미처리 상태인 열을 찾는다.
21                 while((y, right) = next(y, left, 'r')) {
22                     for(c = left; c <= right; c++) {
23                         l[y][c] = label;
24                         if (!l[y-1][c] and (c <= left or l[y-1][c-1])) push(Q, (y-1, c));
25                         if (!l[y+1][c] and (c <= left or l[y+1][c-1])) push(Q, (y+1, c));
26                     }
27                 }
28             }
29         }

```

2.4 영상 처리의 세 가지 기본 연산

2.4.1 점 연산

- 오직 자신의 명암값에 따라 새로운 값을 결정

2.4.2 영역 연산

- 이웃 화소의 명암값에 따라 새로운 값 결정

2.4.3 기하 연산

- 일정한 기하 연산으로 결정된 화소의 명암값에 따라 새로운 값 결정

2.4.1 점 연산

■ 점 연산을 식으로 쓰면,

- 대부분은 $k=1$ (즉 한 장의 영상을 변환)

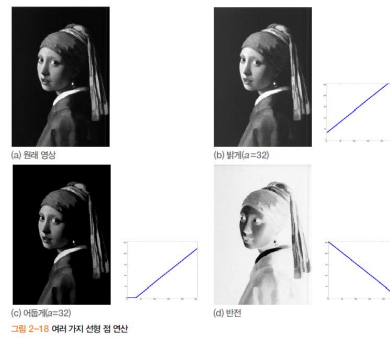
$$f_{out}(j, i) = t(f_1(j, i), f_2(j, i), \dots, f_k(j, i)) \quad (2.10)$$

■ 선형 연산

- 예)

$$f_{out}(j, i) = t(f(j, i))$$

$$= \begin{cases} \min(f(j, i) + a, L - 1), & \text{(밝게)} \\ \max(f(j, i) - a, 0), & \text{(어둡게)} \\ (L - 1) - f(j, i), & \text{(반전)} \end{cases}$$

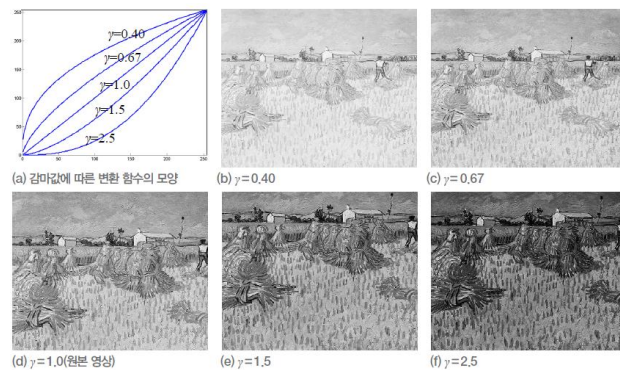


2.4.1 점 연산

■ 비선형 연산

- 예) 감마 수정 (모니터나 프린터 색상 조절에 사용)

$$f_{out}(j, i) = (L - 1) \times \hat{f}(j, i)^\gamma \quad \text{이때} \quad \hat{f}(j, i) = \frac{f(j, i)}{(L - 1)}$$



2.4.1 점 연산

■ 디졸브

- $k=2$ 인 경우

$$f_{out}(j, i) = \alpha f_1(j, i) + (1 - \alpha) f_2(j, i) \quad (2.13)$$

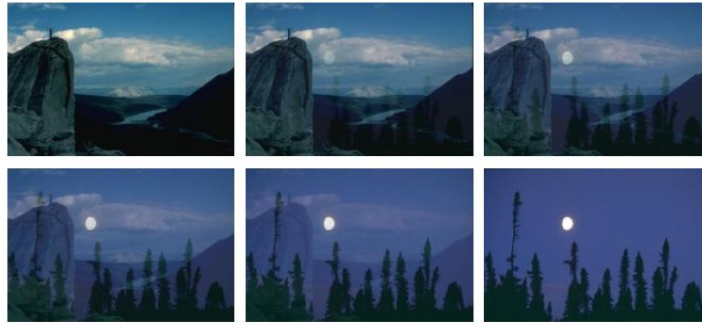


그림 2-21 디졸브 효과

2.4.2 영역 연산

■ 상관

- 원시적인 매칭 연산 (물체를 윈도우 형태로 표현하고 물체를 검출)
- 아래 예에서는 최대값 29를 갖는 위치 6에서 물체가 검출됨

입력 영상 $f =$

	0	1	2	3	4	5	6	7	8	9
	0	0	1	0	2	2	4	3	1	0

원도우 $u =$

2	4	3
---	---	---

출력 영상 $g =$

-	3	4	8	14	24	29	23	10	-
---	---	---	---	----	----	----	----	----	---

상관

입력 영상 $f =$

	0	1	2	3	4	5	6	7	8	9
	0	0	1	0	2	2	4	3	1	0

원도우 $u =$

3	4	2
---	---	---

출력 영상 $g =$

-	2	4	7	12	22	28	26	13	-
---	---	---	---	----	----	----	----	----	---

컨볼루션

그림 2-22 상관과 컨볼루션의 원리

■ 컨볼루션

- 윈도우를 뒤집은 후 상관 적용
- 임펄스 반응

2.4.2 영역 연산

■ 2차원

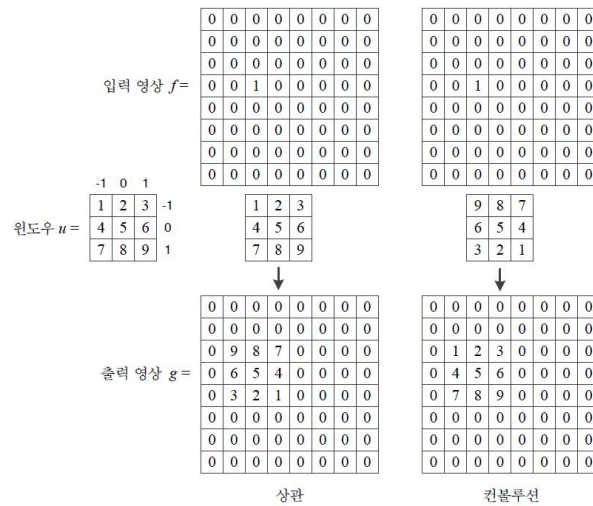


그림 2-23 2차원 상관과 컨볼루션

2.4.2 영역 연산

■ 수식으로 쓰면,

$$\left. \begin{aligned}
 \text{상관 } g(i) &= u \otimes f = \sum_{x=-(w-1)/2}^{(w-1)/2} u(x)f(i+x) \\
 \text{컨볼루션 } g(i) &= u \circledast f = \sum_{j=-(w-1)/2}^{(w-1)/2} u(x)f(i-x)
 \end{aligned} \right\} \text{1차원} \quad (2.14)$$

$$\left. \begin{aligned}
 \text{상관 } g(j,i) &= u \otimes f = \sum_{y=-(h-1)/2}^{(h-1)/2} \sum_{x=-(w-1)/2}^{(w-1)/2} u(y,x)f(j+y,i+x) \\
 \text{컨볼루션 } g(j,i) &= u \circledast f = \sum_{y=-(h-1)/2}^{(h-1)/2} \sum_{x=-(w-1)/2}^{(w-1)/2} u(y,x)f(j-y,i-x)
 \end{aligned} \right\} \text{2차원}$$

■ 이 책은 둘 구분하지 않고 컨볼루션이라는 용어를 사용

2.4.2 영역 연산

■ 컨볼루션 예제

- 박스와 가우시안은 스무딩 효과
- 샤프닝은 명암 대비 강조 효과
- 수평 에지와 수직 에지는 에지 검출 효과

■ 컨볼루션은 선형 연산

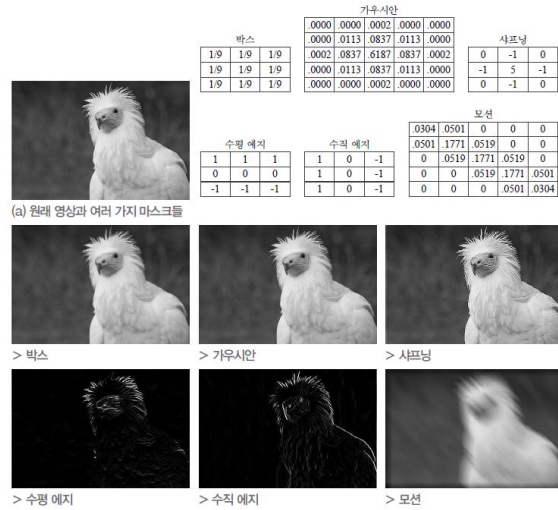


그림 2-24 다양한 마스크와 컨볼루션 효과

2.4.2 영역 연산

■ 비선형 연산

- 예) 메디안 필터
 - 솔트페퍼 잡음에 효과적임
 - 메디안은 가우시안에 비해 에지 보존 효과 뛰어남



그림 2-25 가우시안과 메디안 필터의 비교

2.4.3 기하 연산

■ 동차 좌표와 동차 행렬

■ 동차 좌표

- $\dot{\mathbf{x}} = (y' \ x' \ 1)$
- 예) $(3,5) \rightarrow (3,5,1), (6,10,2), (0.3,0.5,0.1), \dots$

■ 동차 행렬

표 2-1 기하 변환을 위한 동차 행렬

변환	동차 행렬 $\dot{\mathbf{H}}$	설명
이동	$T(t_y, t_x) = \begin{pmatrix} 1 & 0 & 0 \\ 0 & 1 & 0 \\ t_y & t_x & 1 \end{pmatrix}$	y방향으로 t_y , x방향으로 t_x 만큼 이동
회전	$R(\theta) = \begin{pmatrix} \cos \theta & -\sin \theta & 0 \\ \sin \theta & \cos \theta & 0 \\ 0 & 0 & 1 \end{pmatrix}$	원점을 중심으로 시계방향으로 θ 만큼 회전
크기	$S(s_y, s_x) = \begin{pmatrix} s_y & 0 & 0 \\ 0 & s_x & 0 \\ 0 & 0 & 1 \end{pmatrix}$	y방향으로 s_y , x방향으로 s_x 만큼 확대
기울임	$Sh_y(h_y) = \begin{pmatrix} 1 & 0 & 0 \\ h_y & 1 & 0 \\ 0 & 0 & 1 \end{pmatrix}, Sh_x(h_x) = \begin{pmatrix} 1 & h_x & 0 \\ 0 & 1 & 0 \\ 0 & 0 & 1 \end{pmatrix}$	Sh_y : y방향으로 h_y 만큼 기울임 Sh_x : x방향으로 h_x 만큼 기울임

2.4.3 기하 연산

■ 동차 행렬을 이용한 기하 변환

예를 들어, 어떤 점을 y방향으로 3, x방향으로 2만큼 이동시키는 동차 행렬 $\dot{\mathbf{H}}$ 는 다음과 같다.
식 (2.16)은 동차 좌표 $\dot{\mathbf{x}}$ 와 동차 행렬 $\dot{\mathbf{H}}$ 를 이용한 기하 변환이다.

$$\dot{\mathbf{H}} = T(3, 2) = \begin{pmatrix} 1 & 0 & 0 \\ 0 & 1 & 0 \\ 3 & 2 & 1 \end{pmatrix}$$

$$\dot{\mathbf{x}}' = (y' \ x' \ 1) = \dot{\mathbf{x}} \dot{\mathbf{H}} = (y' \ x' \ 1) \begin{pmatrix} a_{11} & a_{12} & 0 \\ a_{21} & a_{22} & 0 \\ a_{31} & a_{32} & 1 \end{pmatrix} \quad (2.16)$$

풀어쓰면, $y' = a_{11}y + a_{21}x + a_{31}$, $x' = a_{12}y + a_{22}x + a_{32}$

2.4.3 기하 연산

예제 2-3 동차 행렬을 이용한 기하 변환

[그림 2-26]의 삼각형을 y 방향으로 3, x 방향으로 2만큼 이동시킨 후 30° 회전시켜보자.

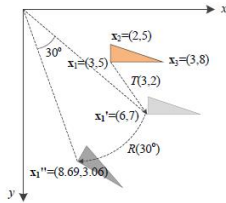


그림 2-26 기하 변환의 예

먼저, 이동 변환을 구하려면 $T(3, 2)$ 가 필요하다. 꼭지점 $x_1=(3, 5)$ 를 동차 좌표로 확장하여 $\hat{x}_1=(3, 5, 1)$ 을 만들고 식 (2.16)의 연산을 적용한다.

$$T(3, 2) = \begin{pmatrix} 1 & 0 & 0 \\ 0 & 1 & 0 \\ 3 & 2 & 1 \end{pmatrix}, \quad \hat{x}_1' = (3 \ 5 \ 1) \begin{pmatrix} 1 & 0 & 0 \\ 0 & 1 & 0 \\ 3 & 2 & 1 \end{pmatrix} = (6 \ 7 \ 1)$$

연산의 결과로 $\hat{x}_1' = (6 \ 7 \ 1)$ 을 얻었는데, 마지막 요소를 제거하여 2차원 좌표로 바꾸면 $x_1' = (6, 7)$ 이 된다. 나머지 두 점 x_2 와 x_3 도 같은 과정으로 변환한 후 이동한 삼각형을 그려보면 가운데 삼각형과 같다. 이제 이동한 삼각형을 30° 회전시켜보자. 회전을 계산하는 데 필요한 행렬 $R(30^\circ)$ 를 꼭지점 x' 에 적용하면, 다음과 같이 $x'' = (8.6962, 3.0622)$ 를 얻는다. 나머지 두 점을 계산하고 결과를 그려보면 맨 아래 삼각형과 같다.

$$(6 \ 7 \ 1) \begin{pmatrix} \cos 30^\circ & -\sin 30^\circ & 0 \\ \sin 30^\circ & \cos 30^\circ & 0 \\ 0 & 0 & 1 \end{pmatrix} = (6 \ 7 \ 1) \begin{pmatrix} 0.866 & -0.500 & 0 \\ 0.500 & 0.866 & 0 \\ 0 & 0 & 1 \end{pmatrix} = (8.6962 \ 3.0622 \ 1)$$

2.4.3 기하 연산

■ 왜 동차 좌표를 사용하나?

- 복합 변환을 이용한 계산 효율
- 예) 이동 후 회전은 두 번의 행렬 곱셈, 하지만 복합 변환을 이용하면 한 번의 곱셈

예제 2-4 복합 기하 변환

[예제 2-3]의 두 단계 변환을 효율적으로 해 보자. 변환에 필요한 행렬 $T(3, 2)$ 와 $R(30^\circ)$ 를 곱하면 다음과 같다.

$$T(3, 2)R(30^\circ) = \begin{pmatrix} 1 & 0 & 0 \\ 0 & 1 & 0 \\ 3 & 2 & 1 \end{pmatrix} \begin{pmatrix} 0.866 & -0.500 & 0 \\ 0.500 & 0.866 & 0 \\ 0 & 0 & 1 \end{pmatrix} = \begin{pmatrix} 0.866 & -0.500 & 0 \\ 0.500 & 0.866 & 0 \\ 3.5981 & 0.2321 & 1 \end{pmatrix}$$

이제 이 행렬을 원래 삼각형의 세 개의 꼭지점 각각에 대해 적용하면, 최종 변환된 삼각형을 얻을 수 있다. 예를 들어, 꼭지점 $x_1 = (3, 5)$ 에 적용한 결과는 다음과 같다. [예제 2-3]에서 행렬 곱을 두 번 한 것과 결과가 동일하다.

$$(3 \ 5 \ 1) \begin{pmatrix} 0.866 & -0.500 & 0 \\ 0.500 & 0.866 & 0 \\ 3.5981 & 0.2321 & 1 \end{pmatrix} = (8.6962 \ 3.0622 \ 1)$$

■ 임의의 점 (c_x, c_y) 를 중심으로 회전

- $T(-c_x, -c_y)R(\theta)T(c_x, c_y)$

2.4.3 기하 연산

■ 영상에 적용

- 전방 변환은 심한 에일리어싱 현상
- 후방 변환을 이용한 안티 에일리어싱

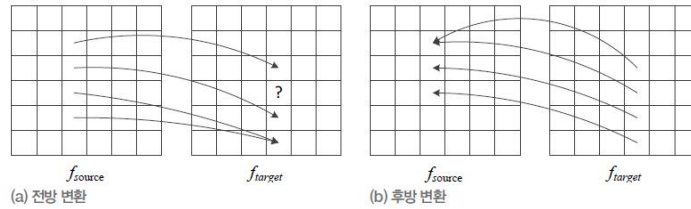


그림 2-27 후방 기하 변환의 안티 에일리어싱 효과

2.4.3 기하 연산

알고리즘 2-7 전방 기하 변환

입력: 영상 $f_{source}(j, i)$, $0 \leq j \leq M-1$, $0 \leq i \leq N-1$, 변환 행렬 \mathbf{H}

출력: 기하 변환된 영상 $f_{target}(j, i)$, $0 \leq j \leq M-1$, $0 \leq i \leq N-1$

```

1  for (j=0 to M-1)
2    for (i=0 to N-1) {
3       $(j', i')$ 에  $\mathbf{H}$ 를 적용하여 변환된 점  $(j', i')$ 를 구한다. 실수는 반올림하여 정수로 만든다.
4       $f_{target}(j, i) = f_{source}(j', i')$ ; // 영상 공간을 벗어난 점은 무시한다.
5    }
```

알고리즘 2-8 후방 기하 변환

입력: 영상 $f_{source}(j, i)$, $0 \leq j \leq M-1$, $0 \leq i \leq N-1$, 변환 행렬 \mathbf{H}

출력: 기하 변환된 영상 $f_{target}(j, i)$, $0 \leq j \leq M-1$, $0 \leq i \leq N-1$

```

1  for (j=0 to M-1)
2    for (i=0 to N-1) {
3       $(j, i)$ 에  $\mathbf{H}^{-1}$ 을 적용하여 변환된 점  $(j', i')$ 를 구한다. 실수는 반올림하여 정수로 만든다.
4       $f_{target}(j, i) = f_{source}(j', i')$ ; // 영상 공간을 벗어난 점은 무시한다.
5    }
```


2.4.3 기하 연산

■ 보간에 의한 안티 에일리어싱

- 실수 좌표를 반올림하여 정수로 변환하는 과정에서 에일리어싱 발생
- 주위 화소 값을 이용한 보간으로 안티 이일리어싱

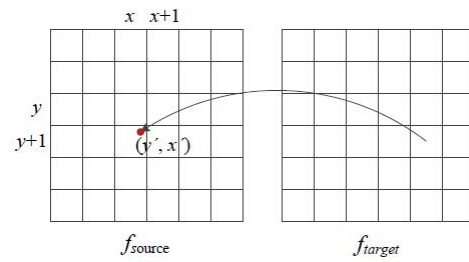


그림 2-28 기하 변환한 점의 좌표

2.4.3 기하 연산

■ 양선형 보간

$$f(x') = (1 - \alpha)f(x) + \alpha f(x + 1) \quad (2.17)$$

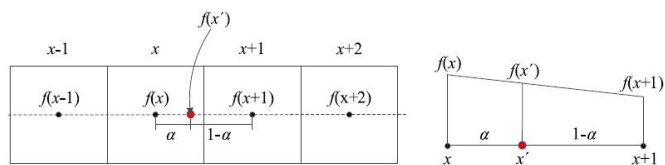


그림 2-29 1차원에서 보간식 유도

2.4.3 기하 연산

■ 양선형 보간

$$\begin{aligned} f(y, x') &= (1 - \alpha)f(y, x) + \alpha f(y, x+1) \\ f(y+1, x') &= (1 - \alpha)f(y+1, x) + \alpha f(y+1, x+1) \\ f(y', x') &= (1 - \beta)f(y, x') + \beta f(y+1, x') \end{aligned} \quad (2.18)$$

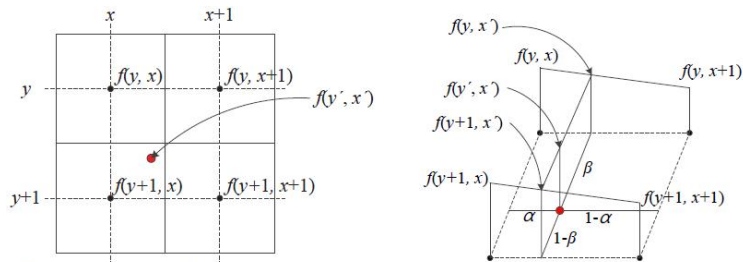


그림 2-30 2차원에서 보간식 유도

2.4.3 기하 연산

■ 최근접 이웃, 양선형 보간, 양 3차 보간의 비교



(a) 원래 영상과 조각 영상



> 최근접 이웃



> 양선형 보간



> 양 3차 보간

(b) 10x 확대한 영상

그림 2-31 영상 보간

2.5 다해상도

■ 해상도를 줄이거나 늘리는 연산

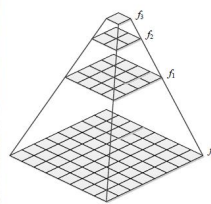
- 다양한 응용
 - 멀티미디어 장치에 디스플레이
 - 물체 크기 변환에 강인한 인식 등
- 업샘플링과 다운샘플링

■ 피라미드

- 샘플링 비율 0.5로 다운샘플링 반복



그림 2-32 피라미드

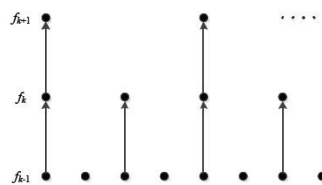


2.5 다해상도

■ 피라미드 구축 연산을 식으로 쓰면,

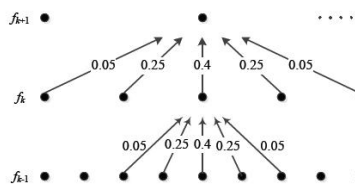
$$f_k(j, i) = f_{k-1}\left(\frac{j}{r}, \frac{i}{r}\right), \quad r = \frac{1}{2}, \quad 1 \leq k \leq q \quad (2.19)$$

- 에일리어싱 발생 (화소에 따라 100% 또는 0% 만큼 공헌)



(a) 식 (2.19)를 표현한 그림

그림 2-33 피라미드 구축을 위한 다운샘플링



(b) 식 (2.20)을 표현한 그림

2.5 다해상도

■ Burt&Adelson 방법 [Burt83a]

$$f_k(j, i) = \sum_{y=-2}^2 \sum_{x=-2}^2 w(y, x) f_{k-1}\left(\frac{j}{r} + y, \frac{i}{r} + x\right), \quad r = \frac{1}{2}, \quad 1 \leq k \leq q \quad (2.20)$$

- 모든 화소가 50%씩 공헌

v =	0.05	h =	0.05	0.25	0.4	0.25	0.05	w =	.0025	.0125	.0200	.0125	.0025
	0.25								.0125	.0625	.1000	.0625	.0125
	0.4								.0200	.1000	.1600	.1000	.0200
	0.25								.0125	.0625	.1000	.0625	.0125
	0.05								.0025	.0125	.0200	.0125	.0025

그림 2-34 [Burt83a]가 사용한 필터

2.5 다해상도

■ Burt&Adelson 방법 [Burt83a]

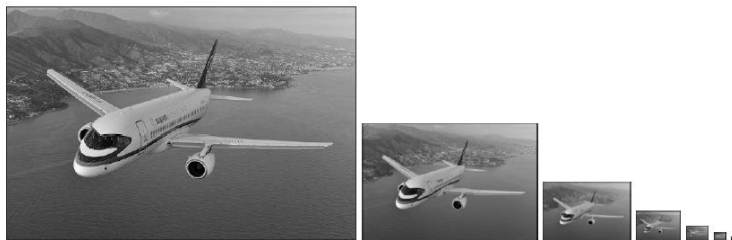


그림 2-35 피라미드 영상의 예(원래 영상의 해상도는 764×1024)

2.6 모폴로지

■ 모폴로지

- 원래 생물학에서 생물의 모양 변화를 표현하는 기법
- 수학적 모폴로지: 컴퓨터 비전에서 패턴을 원하는 형태로 변환하는 기법

2.6.1 이진 모폴로지

2.6.2 명암 모폴로지

2.6.1 이진 모폴로지

■ 구조 요소

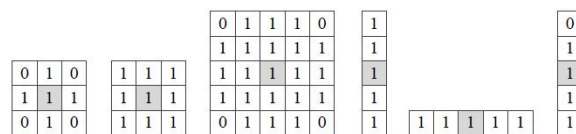


그림 2-36 몇 가지 대표적인 구조요소

■ 팽창, 침식, 열기, 닫기 연산

$$S_t = \{s + t \mid s \in S\} \quad (2.21)$$

$$\text{팽창: } f \oplus S = \bigcup_{x \in f} S_x \quad (2.22)$$

$$\text{침식: } f \ominus S = \{x \mid x + s \in f, \forall s \in S\} \quad (2.23)$$

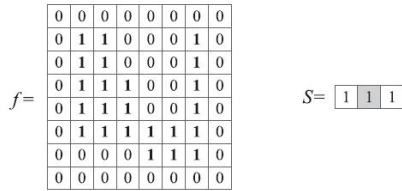
$$\text{열기: } f \circ S = (f \ominus S) \oplus S \quad (2.24)$$

$$\text{닫기: } f \bullet S = (f \oplus S) \ominus S \quad (2.25)$$

2.6.1 이진 모폴로지

예제 2-6 모폴로지 연산(팽창, 침식, 열기, 닫기)

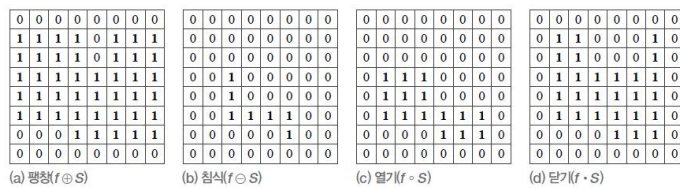
[그림 2-37]은 간단한 예제 영상과 1×3 크기의 가로 방향의 구조요소를 보여준다.



(a) 원래 영상

(b) 구조요소

그림 2-37 예제 영상과 구조요소



(a) 팽창($f \oplus S$)

(b) 침식($f \ominus S$)

(c) 열기($f \circ S$)

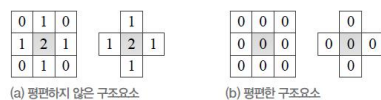
(d) 닫기($f \cdot S$)

그림 2-38 모폴로지 연산 적용 결과

효과를 분석해 보자.

2.6.2 명암 모폴로지

■ 구조 요소



(a) 평편하지 않은 구조요소

(b) 평편한 구조요소

그림 2-39 명암 모폴로지를 위한 구조요소

■ 팽창, 침식, 열기, 닫기 연산

$$\text{명암 팽창(평편하지 않은 구조요소)}: (f \oplus S)(j, i) = \max_{(y, x) \in S} (f(j - y, i - x) + S(y, x)) \quad (2.26)$$

$$\text{명암 침식(평편하지 않은 구조요소)}: (f \ominus S)(j, i) = \min_{(y, x) \in S} (f(j + y, i + x) - S(y, x)) \quad (2.27)$$

$$\text{명암 팽창(평편한 구조요소)}: (f \oplus S)(j, i) = \max_{(y, x) \in S} f(j - y, i - x) \quad (2.28)$$

$$\text{명암 침식(평편한 구조요소)}: (f \ominus S)(j, i) = \min_{(y, x) \in S} f(j + y, i + x) \quad (2.29)$$

$$\text{열기}: f \circ S = (f \ominus S) \oplus S \quad (2.30)$$

$$\text{닫기}: f \cdot S = (f \oplus S) \ominus S \quad (2.31)$$

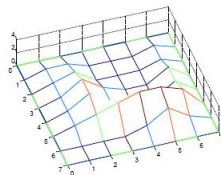
2.6.2 명암 모폴로지

예제 2-6 명암 모폴로지 연산(평향, 침식)

[그림 2-40]은 예제에서 다른 명암 영상과 그것을 지형으로 해석한 것이다. 계산을 간단히 하기 위해 1×3의 작은 크기의 평편한 구조요소를 가정한다.

$$f = \begin{bmatrix} 0 & 0 & 0 & 0 & 0 & 0 & 0 & 0 \\ 0 & 1 & 1 & 0 & 0 & 0 & 1 & 0 \\ 0 & 1 & 2 & 0 & 0 & 0 & 1 & 0 \\ 0 & 1 & 3 & 1 & 0 & 0 & 2 & 0 \\ 0 & 1 & 3 & 1 & 0 & 0 & 2 & 0 \\ 0 & 1 & 2 & 3 & 4 & 4 & 3 & 0 \\ 0 & 0 & 0 & 0 & 1 & 3 & 1 & 0 \\ 0 & 0 & 0 & 0 & 0 & 0 & 0 & 0 \end{bmatrix}$$

$$S = \begin{bmatrix} 0 & 0 & 0 \end{bmatrix}$$



(a) 원래 영상과 구조요소

(b) 원래 영상을 지형으로 해석한 영상

그림 2-40 원래 영상과 지형으로 해석한 영상

$$\begin{bmatrix} 0 & 0 & 0 & 0 & 0 & 0 & 0 & 0 \\ 1 & 1 & 1 & 1 & 0 & 1 & 1 & 1 \\ 1 & 2 & 2 & 2 & 0 & 1 & 1 & 1 \\ 1 & 3 & 3 & 3 & 1 & 2 & 2 & 2 \\ 1 & 3 & 3 & 3 & 1 & 2 & 2 & 2 \\ 1 & 2 & 3 & 4 & 4 & 4 & 4 & 3 \\ 0 & 0 & 0 & 1 & 3 & 3 & 3 & 1 \\ 0 & 0 & 0 & 0 & 0 & 0 & 0 & 0 \end{bmatrix}$$

$$\begin{bmatrix} 0 & 0 & 0 & 0 & 0 & 0 & 0 & 0 \\ 0 & 0 & 0 & 0 & 0 & 0 & 0 & 0 \\ 0 & 0 & 0 & 0 & 0 & 0 & 0 & 0 \\ 0 & 0 & 1 & 0 & 0 & 0 & 0 & 0 \\ 0 & 0 & 1 & 0 & 0 & 0 & 0 & 0 \\ 0 & 0 & 1 & 2 & 3 & 3 & 0 & 0 \\ 0 & 0 & 0 & 0 & 0 & 1 & 0 & 0 \\ 0 & 0 & 0 & 0 & 0 & 0 & 0 & 0 \end{bmatrix}$$

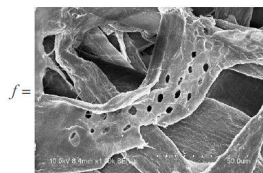
← 효과를 분석해 보자.

(a) 평향

(b) 침식

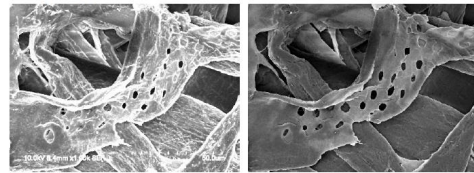
그림 2-41 명암 평향과 침식의 예(평편한 구조요소)

2.6.2 명암 모폴로지



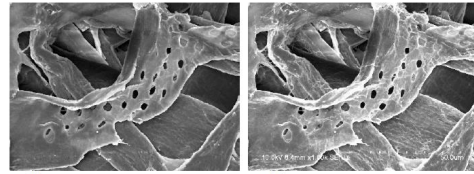
$$S = \begin{bmatrix} 0 & 0 & 0 & 0 & 0 \\ 0 & 0 & 0 & 0 & 0 \\ 0 & 0 & 0 & 0 & 0 \\ 0 & 0 & 0 & 0 & 0 \\ 0 & 0 & 0 & 0 & 0 \end{bmatrix}$$

(a) 원래 영상과 구조요소



> 평향

> 침식



> 열기

> 닫기

(b) 연산 적용 후 영상

그림 2-42 전자 현미경으로 찍은 한지 영상에 적용한 명암 모폴로지명암 256, 해상도 960×1280)

2.7 컬러

■ RGB 모델

- 길이가 1인 정육면체로 색을 표현

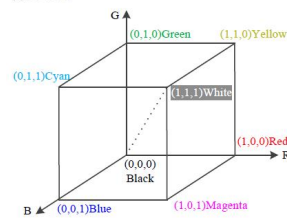
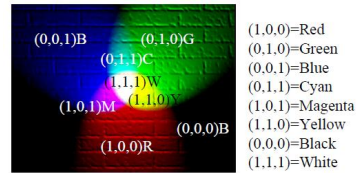
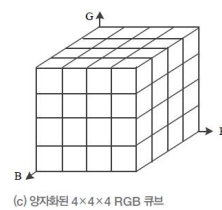


그림 2-43 RGB 컬러 모델



2.7 컬러

■ RGB 모델로 영상 표현

- f_r , f_g , f_b 의 세 채널로 표현

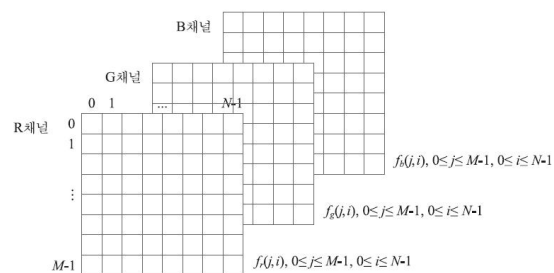


그림 2-44 RGB 컬러 영상

2.7 컬러

■ HSI 모델

- 이중 콘으로 색을 표현

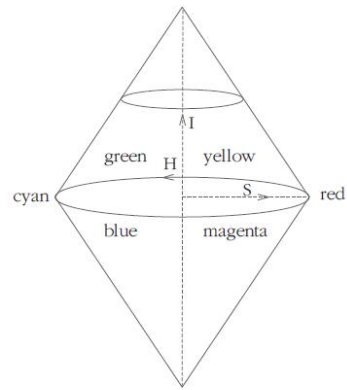


그림 2-45 HSI 컬러 모델

2.7 컬러

■ 컬러 영상 처리

- 가장 단순한 방법은 세 채널을 독립적으로 처리



그림 2-46 RGB 영상에 가우시안 스무딩($\sigma=2.0$)을 적용한 결과

2.7 컬러

■ 컬러 영상 처리



■ 독립적으로 적용하면 적절하지 않은 경우

- 예) 히스토그램 평활화